

Известия НАН Армении, Физика, т.59, №3, с.324–331 (2024)

УДК 539.216

DOI:10.54503/0002-3035-2024-59.3-324

## СИНТЕЗ И ИССЛЕДОВАНИЕ ДИЭЛЕКТРИЧЕСКИХ СВОЙСТВ КОМПОЗИТНОГО МАТЕРИАЛА, СОСТОЯЩЕГО ИЗ СТЕКЛОКЕРАМИКИ НА ОСНОВЕ ПЕРЛИТА И $TiO_2$

Л.Н. ГРИГОРЯН, П.Г. ПЕТРОСЯН\*

Ереванский государственный университет, Ереван, Армения

\*e-mail: ppetros@ysu.am

(Поступила в редакцию 10 июля 2024 г.)

Предложен метод низкотемпературного синтеза композитного материала стеклокерамика –  $TiO_2$ . Исследованы частотные зависимости диэлектрической проницаемости и диэлектрических потерь в диапазоне частот 0–20 МГц. Показано, что увеличение содержания  $TiO_2$  в композитном материале приводит к росту диэлектрической проницаемости и к уменьшению диэлектрических потерь. Методом рентгеновской дифракции исследованы структура и фазовый состав композитного материала и показано, что во время низкотемпературной термообработки компоненты, входящие в состав композитного материала, не образуют новых фаз, и полученный материал можно представить как смесь невзаимодействующих компонентов, хаотично распределенных в пространстве.

### 1. Введение

Важность получения стеклокерамических материалов с высокой диэлектрической проницаемостью и изучения диэлектрических свойств этих материалов обусловлена их широким применением в микроэлектронике и сверхвысокочастотной (СВЧ) электронике [1–5]. Сегодня радиосвязь, телевещание, спутниковая связь осуществляются с использованием гигагерцовых частот СВЧ диапазона. Для создания малогабаритных устройств, работающих в СВЧ диапазоне, необходимы такие материалы, которые имеют большие значения статической диэлектрической проницаемости ( $\epsilon > 10$ ), малые диэлектрические потери, маленький температурный коэффициент диэлектрической проницаемости, большую механическую прочность, химическую стабильность и т.д. [6–9]. Естественно, что вышеуказанные требования не может обеспечить один конкретный материал. Для получения диэлектриков с желаемыми параметрами используются многокомпонентные композитные материалы, в частности, стеклокерамические (СК) материалы [10–14].

Диэлектрические свойства СК материалов – диэлектрическая проницаемость, диэлектрические потери – определяются их составом и структурой. Значения диэлектрической проницаемости СК различного состава в основном находятся в диапазоне 5–10, а потери составляют  $10^{-2}$ – $10^{-4}$  [15, 16]. Для повышения диэлектрической проницаемости СК материалов в них вводят оксиды различных металлов в виде смесей [17, 18]. Однако процентное содержание

примесей при температуре синтеза СК 1350–1400°C не может превышать 5 масс%. Например, в стекле, синтезированном на основе перлита, степень максимальной растворимости TiO<sub>2</sub> при 1350°C не превышает 3.5–4 мас% [19], что не может существенно изменить диэлектрические свойства получаемого материала.

Другим способом повышения диэлектрической проницаемости СК является получение композитного материала на основе СК. В этом методе смешиваются стеклокерамический порошок в стеклянной фазе и материал с высокой диэлектрической проницаемостью. В этом случае синтез композитного материала проводится при температурах 900–950°C, так как стеклянный порошок переходит в жидкое состояние до достижения указанной температуры и образует сплошную оболочку вокруг фазы с высоким значением  $\epsilon$ . Преимущество данного метода заключается в том, что он является низкотемпературным и позволяет увеличить процентное содержание материала с высокой диэлектрической проницаемостью до 75–80%. В результате такого технологического подхода можно получать композитные СК материалы с различной диэлектрической проницаемостью и диэлектрическими потерями за счет изменения количества компонентов [20–22]. В этом случае большое значение приобретает выбор материалов для смешивания. Они должны обладать высокой диэлектрической проницаемостью, не взаимодействовать друг с другом, а полученный композитный материал должен обладать необходимой механической прочностью. Для этих целей обычно используются стекла, имеющие низкую температуру стеклования. Диэлектрическая проницаемость таких стекол находится в диапазоне 6–8. Нами синтезирована СК на основе перлита, диэлектрическая проницаемость которого составляет 15–16, а температура стеклования – 680°C. При температуре 900°C она кристаллизуется с образованием мелкозернистой нанокристаллической структуры с высокой механической прочностью [23]. СК, полученная на основе перлита, может стать перспективным материалом для получения композитного материала с высокой диэлектрической проницаемостью и низкими диэлектрическими потерями.

Целью настоящей работы является получение методом низкотемпературного синтеза композитного СК материала, компонентами которого являются TiO<sub>2</sub> и силикатное стекло, синтезированное на основе перлита, и исследование диэлектрических свойств полученного материала в диапазоне частот 0–20 МГц.

## 2. Синтез композитного стеклокерамического материала

Синтезированный композитный СК материал состоит из силикатного стекла на основе перлита, синтезированного нами [23], и порошка TiO<sub>2</sub>. В составе композитной СК выбор TiO<sub>2</sub> неслучаен, так как он имеет достаточно высокую диэлектрическую проницаемость ( $\epsilon = 30–80$ ). В состав стекла входит: перлит – 40–70, CaCO<sub>3</sub> – 30–40, Na<sub>2</sub>CO<sub>3</sub> – 2–3% и катализатор кристаллизации из группы фторидов Na<sub>2</sub>SiF<sub>6</sub> – 3–7%. Варка стекла произведена в корундовых тиглях при температуре 1350–1400°C в воздушной атмосфере электрической печи в течение от 1 до 3-х часов. После стекло заливается в холодную воду (процесс фриттования), в результате образуется фритта стекла. Полученная масса стеклянной фритты сушилась при температуре 60°C и измельчалась вручную в агатовой ступке. В результате получается порошок стекла с размерами частиц 3–7 мкм. Для получения определенного состава композитного СК материала фритта стекла

перемешивалась с  $\text{TiO}_2$  (с размерами частиц 5–7 мкм) в смесителе в течение 24 часов. Для гомогенизации СК композиции в состав добавили этиловый спирт (в количестве 5% от общего веса композитного состава) и перемешали вручную. Далее образцы изготавливались гидравлическим прессованием при давлении 250–280 МПа. Полученные образцы имели форму дисков с диаметром 15 мм и толщиной несколько миллиметров.

Образцы подвергались термообработке при температуре 900°C в течение 5 часов. Температура термообработки была выбрана так, чтобы она была выше температуры стеклования, которая для стекла на основе перлита составляет примерно 680°C [23]. Стекловидная фаза при температуре 900°C имеет низкую вязкость и выполняет связующую функцию.

Синтезированные образцы отличались процентным содержанием стеклянной фритты и  $\text{TiO}_2$ : L0 – фритта – 100 и  $\text{TiO}_2$  – 0%, L1 – фритта – 85 и  $\text{TiO}_2$  – 15%, L2 – фритта – 70 и  $\text{TiO}_2$  – 30%, L3 – фритта – 55 и  $\text{TiO}_2$  – 45%, L4 – фритта – 40 и  $\text{TiO}_2$  – 60%, L5 – фритта – 25 и  $\text{TiO}_2$  – 75%.

Отметим, что стекло, синтезированное на основе перлита, содержит центры кристаллизации из группы фторидов и при температуре 900°C превращается в стеклокерамику [23].

### 3. Результаты исследований и обсуждение

На рис.1 представлены частотные зависимости диэлектрической проницаемости некоторых композитных СК образцов. Диэлектрическую проницаемость  $\epsilon'$  и диэлектрические потери  $\tan\delta$  в диапазоне 0–20 МГц измеряли при комнатной температуре с помощью прибора MICROTEST PRECESION LCR METER.

Видно, что с увеличением  $\text{TiO}_2$  в композитном СК материале наблюдается увеличение диэлектрической проницаемости. В диапазоне частот 2–14 кГц существенных изменений диэлектрической проницаемости не наблюдается.

Для расчета эффективной диэлектрической проницаемости существуют разные выражения, вывод которых основан на различных теоретических представлениях и экспериментальных данных [24]. Общепринятым выражением для

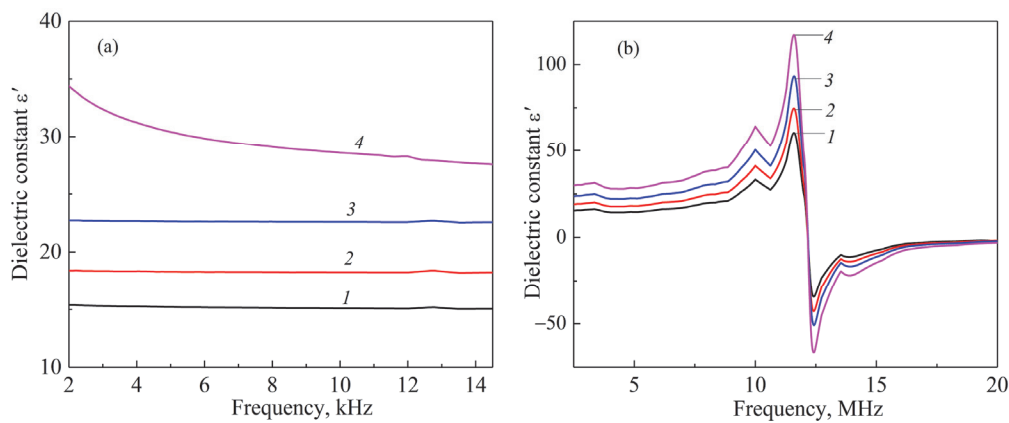


Рис.1. Зависимость диэлектрической проницаемости композитного СК материала от частоты в диапазонах (а) 2–14 кГц и (б) 2.5–20 МГц. Кривые 1–4 относятся к образцам L0–L4, соответственно.

определения  $\epsilon$  композитного материала, состоящего из смеси двух невзаимодействующих компонентов, хаотично распределенных в пространстве, является формула Лихтенеккера

$$\ln \epsilon = y_1 \ln \epsilon_1 + y_2 \ln \epsilon_2,$$

где  $\epsilon$  – эффективная диэлектрическая проницаемость смеси,  $\epsilon_1$  и  $\epsilon_2$  – диэлектрические проницаемости компонентов смеси,  $y_1$  и  $y_2$  – объёмные концентрации компонентов в смеси. Если предположить, что во время низкотемпературной термообработки компоненты, входящие в состав СК композитного материала, не образуют новых фаз, и полученный материал можно представить как смесь невзаимодействующих компонентов, то  $\epsilon$  этой смеси можно определить по формуле Лихтенеккера.

На рис.2 представлена зависимость эффективной диэлектрической проницаемости композитного СК от процентного содержания  $TiO_2$  в смеси. Диэлектрическая проницаемость СК на основе перлита составляет  $\epsilon = 15$  и достигает значения  $\epsilon = 35$  при увеличении содержания  $TiO_2$  до 75%.

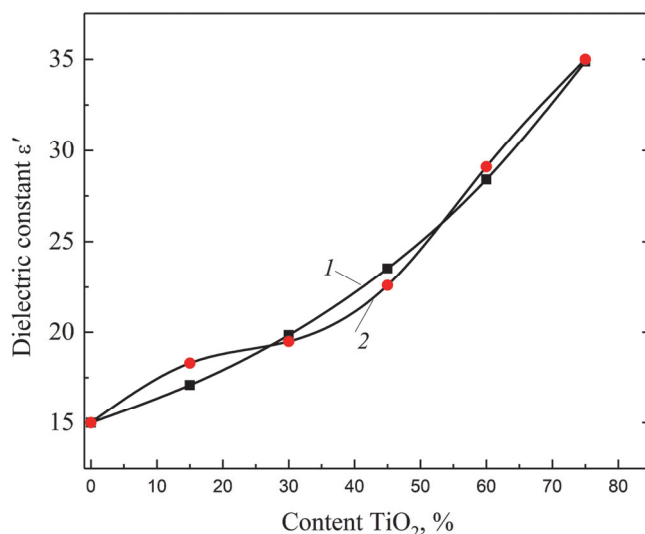


Рис.2. Зависимость эффективной диэлектрической проницаемости композитного СК от процентного содержания  $TiO_2$  при частоте 8 кГц (1 – значения  $\epsilon$ , рассчитанные по формуле Лихтенеккера, 2 – определенные из эксперимента).

Как видно из рис.2, экспериментальные значения эффективной  $\epsilon$  вполне совпадают со значениями  $\epsilon$ , рассчитанными по формуле Лихтенеккера, что позволяет предполагать, что во время низкотемпературной термообработки компоненты композитного СК материала не взаимодействуют и не образуют новых фаз.

Для того, чтобы убедиться в этом, был проведен рентгенофазовый анализ (РФА) образцов. Фазовый состав образцов был исследован методом порошковой рентгеновской дифракции. Рентгенодифракционные спектры были зарегистрированы на дифрактометре МД-10 с источником рентгеновского излучения  $CuK\alpha$  в диапазоне  $2\theta$  углов  $15^\circ < 2\theta < 70^\circ$ . На рис.3 представлены дифрактограммы СК на основе перлита,  $TiO_2$  и композитного СК материала с различным содержанием

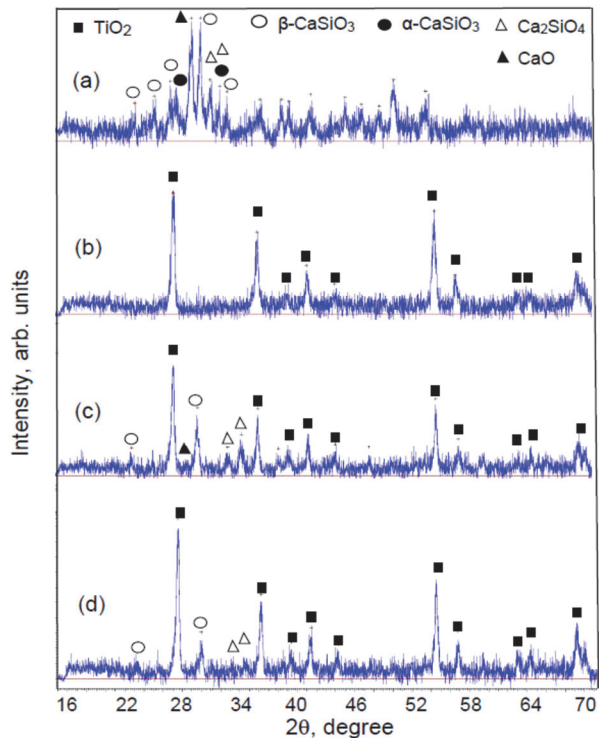


Рис.3. Дифрактограммы: (а) СК на основе перлита, (б)  $\text{TiO}_2$ , (с) композитного СК материала с  $\text{TiO}_2$  30% и (д) композитного СК материала с  $\text{TiO}_2$  60%.

$\text{TiO}_2$ . Сравнение рентгеновских дифракционных картин образцов также подтверждает, что термообработка не приводит к химическому взаимодействию компонентов.

Рентгенодифракционный спектр (рис.3а) показывает, что СК на основе перлита содержит следующие фазы:  $\alpha$  и  $\beta$  фазы волластонита ( $\alpha\text{-CaSiO}_3$  и  $\beta\text{-CaSiO}_3$ ), ларнита ( $\text{Ca}_2\text{SiO}_4$ ) и оксид кальция ( $\text{CaO}$ ). Рентгенодифракционные спектры рис.3с, д показывают содержание одних и тех же фаз:  $\text{TiO}_2$ ,  $\beta\text{-CaSiO}_3$  и  $\text{Ca}_2\text{SiO}_4$ . Во всех спектрах фазы  $\alpha\text{-CaSiO}_3$ ,  $\beta\text{-CaSiO}_3$ ,  $\text{CaO}$  и  $\text{TiO}_2$  идентифицированы в соответствии JCPDS картам №. 74–0874, 84–0654, 28–0775 и 88–1175, а фаза  $\text{Ca}_2\text{SiO}_4$  (ларнит) идентифицирована с использованием результатов работы [25]. Наблюдаемые рефлексы под разными углами для СК на основе перлита и для  $\text{TiO}_2$  сохраняют свое положение в дифрактограммах композитного СК материала, а интенсивности рефлексов меняются пропорционально процентному содержанию СК и  $\text{TiO}_2$  (рис.3с, д). Новые рефлексы не появляются, и это указывает, что при формировании композитного материала химическое взаимодействие между СК и  $\text{TiO}_2$  не происходит, и новые кристаллические фазы не образуются. Полученный результат имеет важное практическое значение, так как, изменяя лишь количество компонентов, можно получить композитный стеклокерамический материал с заданными диэлектрическими параметрами.

Нами также было изучено поведение диэлектрических потерь  $\tan\delta$  композитных СК материалов. На рис.4 представлены зависимости диэлектрических потерь композитных СК материалов, содержащих разное процентное содержание

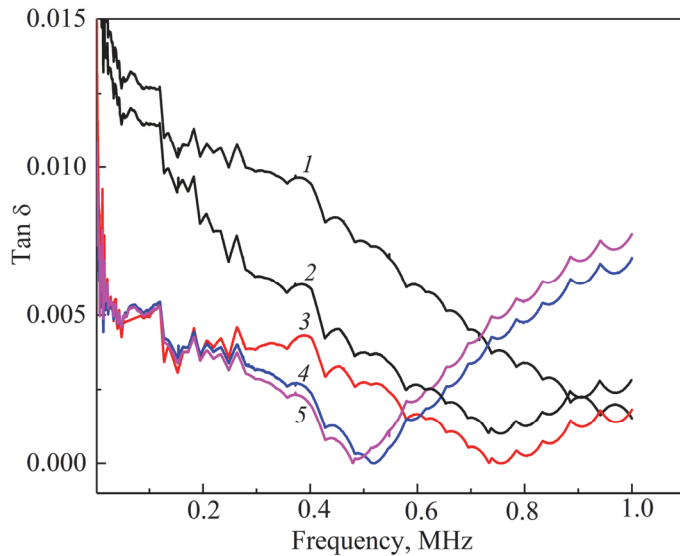


Рис.4. Зависимость  $\tan \delta$  композитных СК материалов от частоты. Кривые 1–5 относятся к образцам L0–L4, соответственно.

$\text{TiO}_2$  в диапазоне частот от 2 кГц до 1 МГц.

Для всех исследованных образцов в диапазоне частот 2–500 кГц  $\tan \delta$  монотонно уменьшается и не проявляет определенных особенностей (рис.4). В зависимости от процентного содержания  $\text{TiO}_2$  значение  $\tan \delta$  в диапазоне частот 0.48–0.75 МГц может быть почти нулевым.

На рис.5 представлены зависимости  $\tan \delta$  и удельного сопротивления от процентного содержания  $\text{TiO}_2$  в СК материале, измеренные на частотах 5, 10 и 500 кГц. Как видно из приведенных зависимостей,  $\tan \delta$  уменьшается примерно в 3–3.5 раза с увеличением процентного содержания  $\text{TiO}_2$  по сравнению с образцами

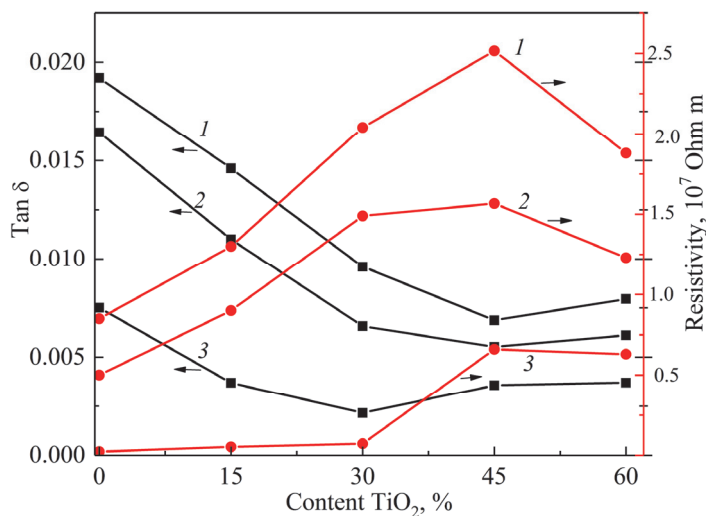


Рис.5. Зависимость  $\tan \delta$  и удельного сопротивления от процентного содержания  $\text{TiO}_2$  в композитном СК материале при частотах: 1 – 5, 2 – 10, 3 – 500 кГц.

без  $\text{TiO}_2$ . Следует также отметить, что уменьшение  $\tan\delta$  происходит в основном при увеличении процентного содержания  $\text{TiO}_2$  до 30%. В образцах с более высоким процентным содержанием  $\text{TiO}_2$   $\tan\delta$  практически не меняется. Наибольший интерес с точки зрения диэлектрических потерь представляют композитные СК материалы с содержанием  $\text{TiO}_2$  более 30%.

Для понимания поведения зависимости диэлектрических потерь от процентного содержания  $\text{TiO}_2$  была также изучена частотная зависимость удельного сопротивления образцов (рис.5). Удельное сопротивление  $\text{TiO}_2$  примерно на три порядка выше, чем у стеклокерамики на основе перлита, поэтому увеличение процентного содержания  $\text{TiO}_2$  приводит к увеличению удельного сопротивления композитного материала, что, на наш взгляд, снижает джоулевые потери и приводит к уменьшению  $\tan\delta$ .

Таким образом, можно утверждать, что добавление  $\text{TiO}_2$  в СК на основе перлита приводит к увеличению диэлектрической проницаемости и уменьшению диэлектрических потерь полученного композитного СК материала.

#### 4. Заключение

Методом низкотемпературного синтеза получен композитный стеклокерамический материал, состоящий из стеклокерамики на основе перлита и  $\text{TiO}_2$ . Проведен рентгенофазовый анализ и показано, что при формировании композитного материала химическое взаимодействие между СК и  $\text{TiO}_2$  не происходит и новые кристаллические фазы не образуются.

Исследованы зависимости диэлектрической проницаемости и диэлектрических потерь образцов с разным процентным содержанием  $\text{TiO}_2$ . Показано, что в диапазоне частот от 2 кГц до 1МГц диэлектрическая проницаемость практически не меняется, а увеличение процентного содержания  $\text{TiO}_2$  в композитном СК материале до 75% приводит в этом диапазоне к увеличению  $\epsilon$  от 15 до 35. Добавка  $\text{TiO}_2$  увеличивает удельное сопротивление композитного материала, снижает джоулевые потери, при этом диэлектрические потери уменьшаются примерно в 3–3.5 раза и в диапазоне частот 0.48–0.75 МГц достигают значения  $10^{-4}$ – $10^{-5}$ .

Авторы выражают благодарность В.С. Арутюняну за проведение рентгеноструктурного анализа композитных материалов.

#### ЛИТЕРАТУРА

1. Т.В. Переволов, В.А. Гриценко. УФН, 180, 587 (2010).
2. A.I. Kingon, J.P. Maria, S.K. Streiffer. Nature, **406**, 1032 (2000).
3. J. Robertson. Eur. Phys. J. Appl. Phys., **28**, 265 (2004).
4. Y.-C. Yeo, T.-J. King, C. Hu. IEEE Trans. Electron. Dev., **50**, 1027 (2003).
5. S. Hall. J. Telecommunications and Information Technology, **2**, 33 (2007).
6. C. Borderon, S. Ginestar, H.W. Gundel, A. Hackou, K. Nadaud, R. Renoud, A. Sharaiha. IEEE Transaction on Ultrasonics, Ferroelectrics, and Frequency Control, **67**, 1733 (2020).
7. L. Huitema, A. Crunteana, H. Wong, A. Ghalem, M. Rammalet. Frequency Tunable Antennas Based on Innovative Materials. Japan, Intern. Conf. on Computational Electromagnetics (ICCEM), 28–34, 2017.

8. A. Crunceanu, V. Muzzupapa, A. Ghalem, L. Huitema, D. Passerieux, C. Borderon, C. Renoud, H.W. Gundel. Crystals., **11**, 277 (2021).
9. Q.M. Guyan, T.K. Anthony, A.I. Zaghlou. IEEE Antennas and Wireless Propagation Lett., **18**, 2751 (2019).
10. H. Hao. Advanced Dielectrics, **3**, 1330001 (2013).
11. Z. Yao, Z. Song, H. Hao, Z. Yu, M. Cao, M.T. Lanagan, H. Liu. Advanced Materials, **29**, 1601727 (2017).
12. H. Qi, R. Zuo. J. Materials Chemistry A, **7**, 3971 (2019).
13. D. Zheng, R. Zuo, D. Zhang, Y. Li. J. American Ceramic Society, **98**, 2692 (2015).
14. А.В. Тумаркин, Е.Н. Сапего, А.Г. Гагарин, Н.Г. Тюрина, З. Г. Тюрина, О.Ю. Синельщикова, С.И. Свиридов. Известия ВУЗ России. Радиоэлектроника, **25**, 86 (2022).
15. Y. Yu, X. Hao, Lu. Song, Z. Li, Li Song. J. Non-Crystalline Solids, **448**, 36 (2016).
16. А.С. Толкачева, И.А. Павлова. Технология керамики для материалов электронной промышленности. Екатеринбург, 2019.
17. S. Kasrani, A. Harabi. Ceramics–Silikaty, **68**, 1 (2024).
18. И. Северенков, Е. Устюгова, Л. Алексеева, Т. Зайчук, Ю. Спиридов. Стекло и керамика, **94**, 3 (2021).
19. L. Grigoryan, P. Petrosyan, S. Petrosyan. J. Contemp. Phys., **59**, (2024) (in print).
20. M. Zhang, J. Zhai, Bo. Shen, X. Yao. Chemistry and Physics, **128**, 225 (2011).
21. E. Nenosheva, A. Kanareykin, A. Dedyk, S. Karmanenko, A. Semenov. Integrated Ferroelectrics, **70**, 107 (2005).
22. A.E. Mahmoud, S. Moeen, M.K. Gerges. J. Materials Science: Materials in Electronics, **32**, 13248 (2021).
23. S.G. Petrosyan, L.N. Grigoryan, P.G. Petrosyan. Glass and Ceramics, **80**, 429 (2024).
24. I.G. Gurtovnik, V.I. Sokolov, N.N. Trofimov, S.I. Shalgunov. Radiotransparent Products from Fiberglass. Moscow, Mir, 2002.
25. M.M. Obeid. Int. J. Mater. Chem., **4**, 79 (2014).

SYNTHESIS AND STUDY OF DIELECTRIC PROPERTIES  
OF COMPOSITE MATERIAL CONSISTING OF GLASS CERAMICS  
BASED ON PEARLITE AND TiO<sub>2</sub>

L.N. GRIGORYAN, P.G. PETROSYAN

A method of low-temperature synthesis of glassceramic – TiO<sub>2</sub> composite material is proposed. Frequency dependences of dielectric permittivity and dielectric losses in the frequency range of 0–20 MHz are investigated. It is shown that an increase in the TiO<sub>2</sub> content in the composite material leads to an increase in dielectric permittivity and to a decrease in dielectric losses. The structure and phase composition of the composite material were investigated by X-ray diffraction method, and it was shown that during low-temperature heat treatment the components of the composite material do not form new phases and the obtained material can be represented as a mixture of non-interacting components chaotically distributed in space.